

# Rozvoj Databáze bodových polí (DBP) a poskytovaných dat

Martin Lederer<sup>1</sup> Otakar Nesvadba<sup>1</sup> Jan Řezníček<sup>1</sup>  
Petr Souček<sup>2</sup>

<sup>1</sup>Zeměměřický úřad, Praha



<sup>2</sup>Český úřad zeměměřický a katastrální, Praha



Seminář DRUŽICOVÉ METODY V GEODÉZII A KATASTRU,  
FAST VUT Brno, 5. února 2015



# Rozvoj DBP a poskytovaných dat

Přehled novinek v databázi bodových polí (DBP) a poskytovaných datech

Aktualizace parcelních čísel prostřednictvím služby ISKN

Aktualizace tíhových údajů k nové realizaci Tíhového systému 1995 (S-Gr95)

Možnost přidávání fotografií do geodetických údajů

Podrobný gravimetrický kvazigeoid QGZÚ-2013



# Aktualizace parcelních čísel prostřednictvím služby ISKN

**Do konce roku 2014:**  
postupná aktualizace (neautomatizovaná)

Bod	217
Stav, údaje	0.00 žula .89 žula
	16x16x69 20x20x10
Ochranný znak: (druh,rok)	OT – 2000
Kat.území Parcel.čís.	Libovice 1018

Katastrální území  
Parcelní číslo

⇒ Informační systém katastru nemovitostí (ISKN).

**GEOODETICKÉ ÚDAJE zhuštělého bodu**

Vytvořeno pro web 08.01.2015

Rej. č. Středočeský kraj.....	Mělník.....	ul. č. 1/1.....	Stav. rok 2001.....		
Adresa: Nasadlov.....					
Bod a název bodu 217 Přibohy		TL 1411	ZM-SB 02-44		
Bod	Druh	Y	X		
217	ZHB	722048.31	1003010.89		
			347.42 hronol		
Elevace		R	L		
217		50.28 08.4177	14.38 02.9696		
		NADMOŘSKÁ VÝŠKA	NEDOSTUPNÉ		
		metres	metres		
Orientation na body [vградусах]					
Bod číslo :	Jihov.	Délka strany	Bod číslo :	Jihov.	Délka strany
228	11.52873	3456.492			
Bod určen ..... metodou GPS					
Materiální popis : Bod je na jihovýchodní straně osady Přibohy, jihozápadní strana asfaltové cesty, směřující ze vesnice Brusné-Libovice severozápadním směrem k osadě Přibohy, 9m jihozápadně od jihozápadního rohu domu čp.6.					
Bod určen : 217 - GPS					
Údaj	217	Euro	Euro	Euro	Euro
Stav, údaje	0.00	16x16x69	0.00	0.00	0.00
	.89	20x20x10			
Ochranný znak: (druh,rok)	OT – 2000				
Kat.území Parcel.čís.	Libovice 1018				
Bod určen : 217 - GPS					
Poznámka :					

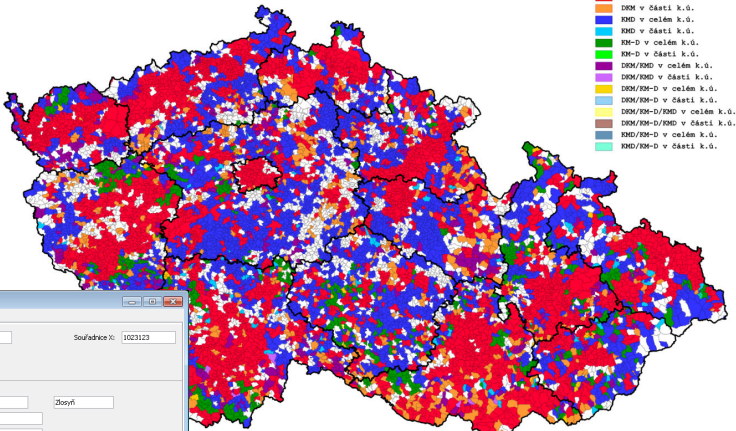


# Aktualizace parcelních čísel prostřednictvím služby ISKN

**Od roku 2015:**

automatická aktualizace – služba ISKN ⇒ aplikace DBP ⇒ DBP

Stav digitalizace katastrálních map k 07.12.2014

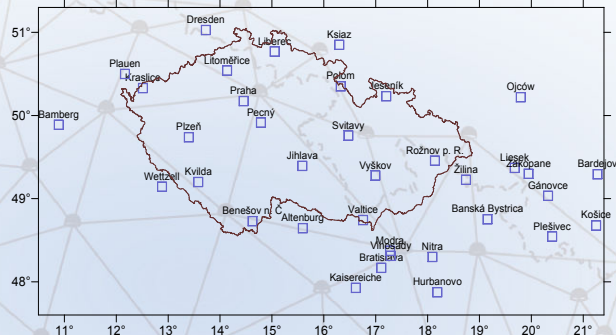


CÚZK, SCD, vygenerováno 07.12.2014 mapovým servisem MaruskaII



# Nová realizace tíhového systému 1995

Absolutní tíhová měření



- 15 absolutních tíhových bodů na území ČR (původní realizace S-Gr95 zahrnovala pouze 2 body)
- s připojenými ABS body okolních zemí celkem **295** absolutních tíhových měření na **36** bodech
- modelování a eliminace všech známých systematických efektů přítomných v měření dle aktuálních vědeckých poznatků

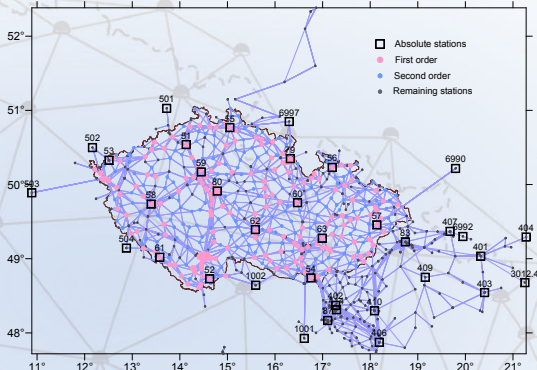
Definice systému **S-Gr95** zůstává beze změny



## Nová realizace tíhového systému 1995

## Relativní tíhová měření

- **perioda 1967–2013**
  - **6031** denních úseků
  - cca **60 000** měření



- eliminace systematických chyb přístrojů (kalibrace senzoru tíže, barometrický efekt)
  - modelování vnějších vlivů (slapové změny, redukce z  $W_{zz}$ , sezónní variace, anomální atmosféra)
  - vyrovnaní nadbytečných pozorování v jediném celku metodou SVD; uvažována různorodá přesnost měření (zavedeny váhy)



# Nová realizace tíhového systému 1995

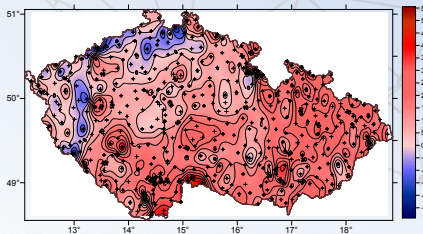
## Tíhový systém 1995 (S-Gr95) v realizaci rámce 2010

### České gravimetrické sítě

Číslo bodu: 27,50
Řad: Bod 1. řádu
List mapy: M - 33 - 65 - D
H = 364,220 m
g(95) = 980987,132 mGal
g(10) = 980987,124 mGal
dg = -0,008 mGal



$$\text{průměrné } g_{10} - g_{95} \approx -130 \text{ nm s}^{-2}$$



### MÍSTOPIS BODU ZÁKLADNÍHO TÍHOVÉHO BODOVÉHO POLE

#### Místopis tíhového bodu České gravimetrické sítě

<b>Tíhový bod: Praha - Ruzyně</b> Okres: OBVOD PRAHA 6 Zeměpisná délka: 14° 05' 57" Zeměpisná šířka: 50° 05' 57"	<b>Číslo bodu:</b> 27,50 <b>Řad:</b> Bod 1. řádu <b>List mapy:</b> M - 33 - 65 - D <b>H:</b> 364,220 m <b>g(95):</b> 980987,132 mGal <b>g(10):</b> 980987,124 mGal <b>dg:</b> -0,008 mGal
<b>Místopisný popis:</b> parkák, před areálom budov starého letiště . <b>Příjezd:</b> kolem parkoviště starého letiště . <b>Výkroví/přípojení:</b> Bri Rapy - Stany, Č 13.1, dle čp. 533 a Č 14.1, dle čp. 104 .	
<b>Stabilizace:</b> typ I, betonová deska, ochranná tyč 1/2	<b>Zkrácení značky:</b> Trešní, 1982
<b>Místopisný náčrt:</b> 	<b>Foto:</b> 
<p>aposteriorní <math>m_{g_{10}}</math> na bodech rámce S-Gr95 nabývá hodnot 5 až 120 nm s<sup>-2</sup></p>	



Možnost přidávání fotografií do geodetických údajů

**Do roku 2014** GEODEZICKÉ ÚDAJE  
Ingrigonometrického bodu  
Vytisknuto pro web: 14.11.2014  
Výrobce: Lonestar, s.r.o.  
pouze u bodů ZTBP (tíhových bodů)

**Od roku 2015**  
také u TB, ZhB a nivelačních bodů

Dane na bieżąco (wysokość)		Dane historyczne		Dane historyczne	
Okres	Wartość	Okres	Wartość	Okres	Wartość
6.4	0 00 00,0	21.144	6,7	0 00 00,0	19.753
6.5	0 00 00,0	20.205	95 / 4505/	267 30 27,2	7893,468
6.6	0 00 00,0	21.102			

Nastupující peleš Bod je na nejvyšším místě stejnojmenného kopce, 3 m jz. od rozhledny, na hranicích ČR-SR, 3,6 km jv. od kostela v Březové. Bod je fotozáří s bodem AGS 72 Velký Lopeník. Bod stře DOPNUL.

Cislo 6.3 nepouzito. Body 6.1 a 6.2 zruseny.  
• Centrum má došli podznačky.

Digitized by srujanika@gmail.com

Ref.	6	6.4	6.5	6.6	
Stří, vložka □	.930 .91 □	žulá silko v bet žulá	30,30,91 16,16,3 60,60,10	žulá komening komening	16,16,85 16,16,3 16,16,85
Stří, vložka □	.930 .91 □	žulá silko v bet žulá	30,30,91 16,16,3 60,60,10	žulá komening komening	16,16,85 16,16,3 16,16,85
Spec. směr materiál na žádat		△ s. TP J.			
Mechanické znaky (náhradní znaky)					
OT-1990,05K-1996					
Kat. znamení:	Lopatka 1545/2	Lopatka 1545/2	Lopatka 1545/2	Lopatka 1545/2	
Poznámka/Drž pozn.					

The figure consists of two parts. On the left is a schematic diagram of a circular field with a radius of 150m. It shows a central point labeled 'OR' with a dashed circle around it, and the letters 'SR' below it. A diagonal line extends from the center through the bottom-left corner of the field. A red arrow points along this line towards the bottom-left. On the right is a photograph of a white mobile robot with a black base, positioned inside a circular concrete pit. The pit has a red and white striped pole standing vertically in its center. The background shows a grassy field and some trees.

NIVELAČNÍ ÚDAJE

Nivelační pořad: XIII.ZNB Základní niv.bod XIII.Chrastava

Předchozí bod	Následující bod	Délka v km		Nadmořská výška Bgv	Výška z roku
		oddlu	od počátku		
Z4a1-8.2	XIII.ZNB	0,014	0,014	332,759 m	2007

Mistopisný popis:



*Stav a stáří objektu:  
skála vyhlazena u kuličového vrcholku uprostřed vodorovné  
plošky  
bod chráněn kamenným pomníkem  
mostní neovzdušná skála*

*Poznámky:*

ZM-50	03-14	SMO-5	Liberec 6-3		
Druh znač.	Stupeň stab.	Stabilizovatel	Druh bodu	Souřadnice v S-JTSK	
Z	1	Zářad	ZNB	Y	692035 m
	Druh stab.	ing Lambert		X	966602 m
	S	2006			
Zeměpisná délka	Zeměpisná šířka	Gs	Gn	Bs	
14° 59' 19,2"	50° 49' 46,9"	981041 mgal	981140 mgal	-20 mgal	Datum 27.1.2011



# Kvazigeoid výškového systému Bpv

Geodetické referenční systémy (nařízení vlády 430/2006 Sb.):

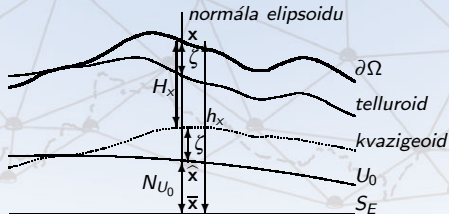
- Evropský Terestrický Referenční Systém (**ETRS**), k epoše 1989.0 a ETRF 2000
- Výškový systém baltský – po vyrovnání (**Bpv**)
- Tíhový systém 1995 (**S-Gr95**)

## Transformace ETRS $\Leftrightarrow$ Bpv

Transformaci mezi *elipsoidální výškou*  $h_x$  a *normální výškou*  $H_x$  v bodě  $x$  na zemském povrchu realizujeme pomocí *výškové anomálie*  $\zeta$ ,

$$h_x = H_x + \zeta(B_x, L_x)$$

kde  $B_x, L_x$  představují geodetické (GRS 80) souřadnice bodu  $x$ .



# Lineární gravimetrická okrajová úloha

- tíhový potenciál  $W(\mathbf{x}) = V(\mathbf{x}) + \frac{1}{2}\omega^2(x_1^2 + x_2^2)$ ,  $\mathbf{x} \in \mathbb{R}^3$
- tíhové zrychlení  $\mathbf{g}(\mathbf{x}) = -\nabla W(\mathbf{x})$ , měřené  $g_x = |\mathbf{g}(\mathbf{x})|$
- modelový normální tíhový potenciál  $U(\mathbf{x})$  (o témže  $\omega$ )
- poruchový potenciál  $T(\mathbf{x}) = W(\mathbf{x}) - U(\mathbf{x})$
- tíhová porucha  $\delta g(\mathbf{x}) = |\mathbf{g}(\mathbf{x})| - |\nabla U(\mathbf{x})| = g_x - |\nabla U(\mathbf{x})|$
- Brunsův teorém  $\zeta(\mathbf{x}) = T(\mathbf{x})|\nabla U(\mathbf{x})|^{-1}$

$$\nabla^2 T(\mathbf{x}) = 0 \quad \text{pro } \mathbf{x} \in \Omega$$

$$\langle \nabla T(\mathbf{x}), \nabla U(\mathbf{x}) \rangle = |\nabla U(\mathbf{x})| \delta g(\mathbf{x}) \quad \text{pro } \mathbf{x} \in \partial\Omega$$

Předpokládejme vnější oblast  $\Omega_E$  rotačního elipsoidu o parametrech  $a, E$  a nechtě dálé  $\nabla U = -\mathbf{n}|\nabla U|$  na  $\partial\Omega_E$ .

Řešení  $T$  v  $\Omega_E$  lze pak nalézt pomocí Greenovy funkce  $G$ , Kellogg (1953)

$$T(\mathbf{y}) = \int_{\partial\Omega_E} G(\mathbf{y}, \mathbf{x}) \delta g(\mathbf{x}) d_x S$$

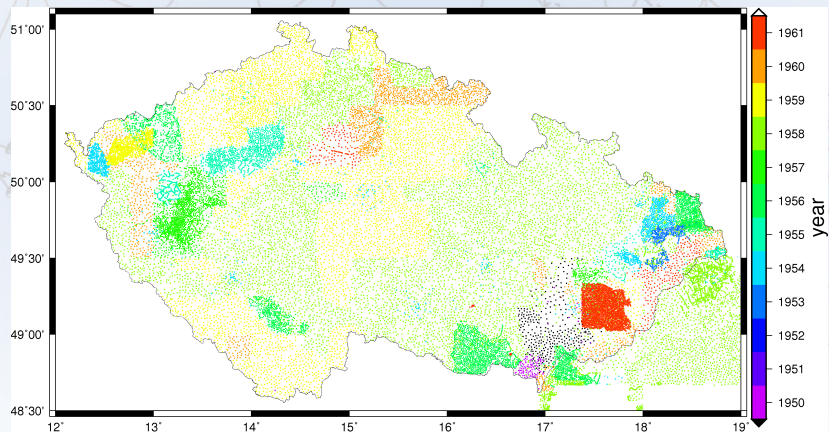
V práci Holota (2011) a Holota a Nesvadba (2014) bylo pro oblast  $\Omega_E$  a sklární součin  $(u, v)_{\Omega_E} = \int_{\Omega_E} \langle \nabla u, \nabla v \rangle d\Omega$  zkonstruováno reprodukční jádro  $K_E(\mathbf{x}, \mathbf{y})$ , které splňuje identitu  $G(\mathbf{y}, \mathbf{x}) = K_E(\mathbf{y}, \mathbf{x})$ ,  $\forall \mathbf{x} \in \partial\Omega_E$ .



# Data gravimetrických mapování

Podrobné tíhové body s určenou hodnotou  $B, L, h, g$

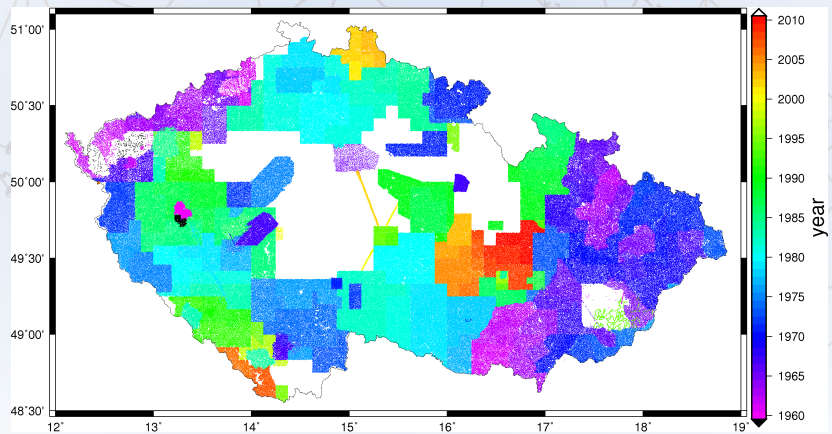
- gravimetrické mapování 1 : 200 000 (1942–1961, cca 30 000 bodů)



# Data gravimetrických mapování

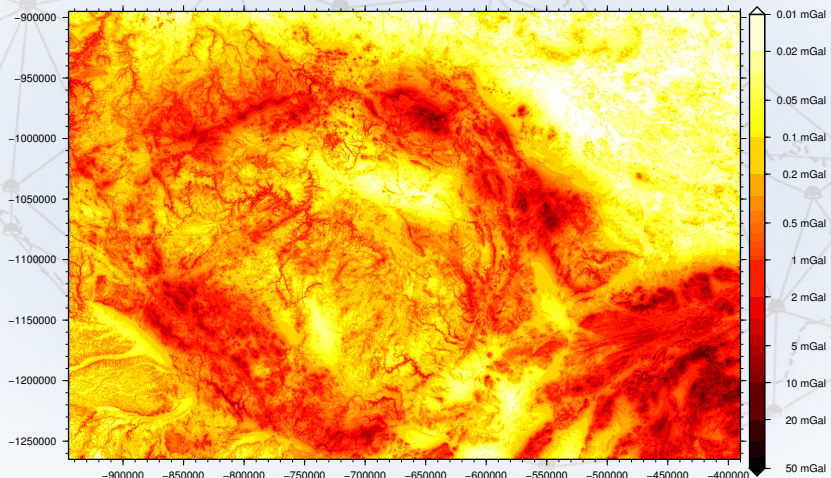
Podrobné tíhové body s určenou hodnotou  $B, L, h, g$

- gravimetrické mapování 1 : 200 000 (1942–1961, cca 30 000 bodů)
- gravimetrické mapování 1 : 25 000 (1958–2011, cca 300 000 bodů)
- body ZTBP, ČSGS a další tíhové body (cca 2 000 bodů)



# Tíhová porucha $\delta g$

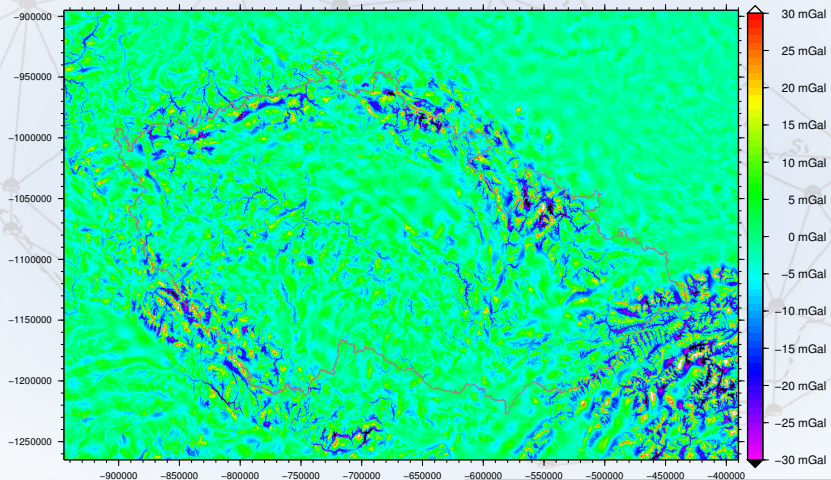
Tíhová porucha  $\delta g = g - |\nabla U|$  na povrchu Země získána interpolací úplné Bouguerovy poruchy  $\delta g_B = g - |\nabla U| - \delta_B(h - h_{DTM06}) + \delta g_{tc}$



# Tíhová porucha $\delta g$

Tíhová porucha  $\delta g = g - |\nabla U|$  na povrchu Země získána interpolací úplné Bouguerovy poruchy  $\delta g_B = g - |\nabla U| - \delta_B(h - h_{DTM06}) + \delta g_{tc}$

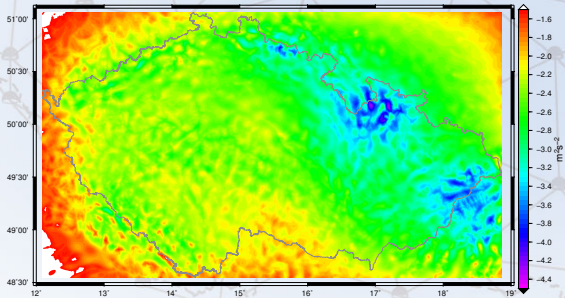
$$\delta g = \delta g_B + \delta_B(h - h_{DTM06}) - \delta g_{tc} + \delta g_{atm}, \quad \text{kde } \delta g_{atm} \approx \frac{\theta_{ISA76}}{\theta} \delta g_{tc}$$



# Gravimetrické řešení $T$

Gravimetrické řešení dílčího  $T$  na povrchu Země získáme Greenovou metodou v kombinaci s *metodou analytického prodloužení*

$$T_0 = \int_S K_E g_0 \, dS, \quad g_0(\mathbf{x}) = \delta g(\mathbf{x})$$

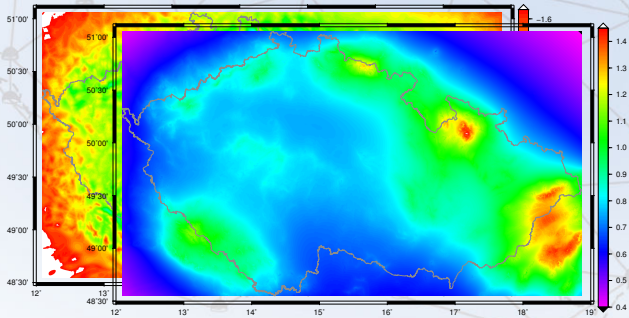


# Gravimetrické řešení $T$

Gravimetrické řešení dílčího  $T$  na povrchu Země získáme Greenovou metodou v kombinaci s *metodou analytického prodloužení*

$$T_0 = \int_S K_E g_0 \, dS, \quad g_0(\mathbf{x}) = \delta g(\mathbf{x})$$

$$T_1 = \int_S K_E g_1 \, dS, \quad g_1(\mathbf{x}) = -(h_x - h_y) P(g_0)$$



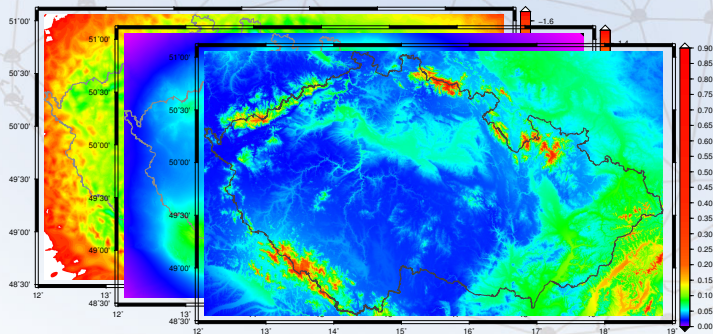
# Gravimetrické řešení $T$

Gravimetrické řešení dílčího  $T$  na povrchu Země získáme Greenovou metodou v kombinaci s *metodou analytického prodloužení*

$$T_0 = \int_S K_E g_0 \, dS, \quad g_0(\mathbf{x}) = \delta g(\mathbf{x})$$

$$T_1 = \int_S K_E g_1 \, dS, \quad g_1(\mathbf{x}) = -(h_x - h_y) P(g_0)$$

$$T_2 = \int_S K_E g_2 \, dS, \quad g_2(\mathbf{x}) = -(h_x - h_y) P(g_1) - \frac{1}{2}(h_x - h_y)^2 P[P(g_0)]$$



# Gravimetrické řešení $T$

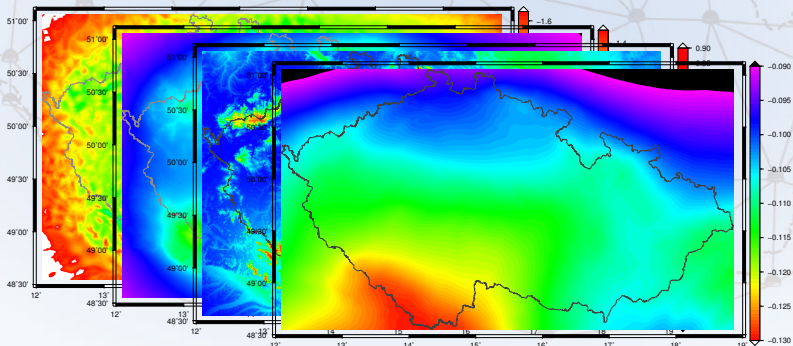
Gravimetrické řešení dílčího  $T$  na povrchu Země získáme Greenovou metodou v kombinaci s *metodou analytického prodloužení*

$$T_0 = \int_S K_E g_0 \, dS, \quad g_0(\mathbf{x}) = \delta g(\mathbf{x})$$

$$T_1 = \int_S K_E g_1 \, dS, \quad g_1(\mathbf{x}) = -(h_x - h_y) P(g_0)$$

$$T_2 = \int_S K_E g_2 \, dS, \quad g_2(\mathbf{x}) = -(h_x - h_y) P(g_1) - \frac{1}{2}(h_x - h_y)^2 P[P(g_0)]$$

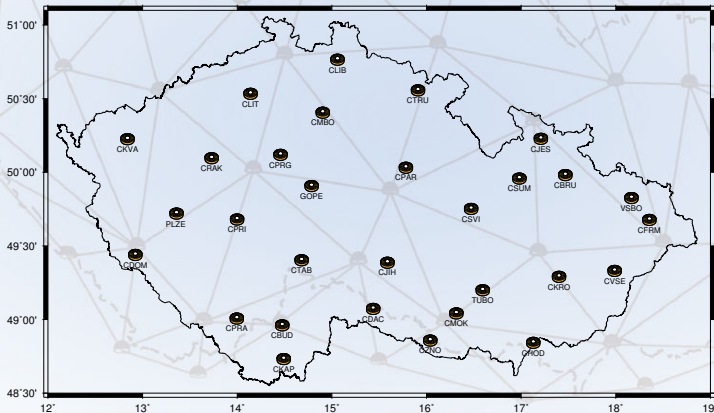
$$\text{gravitační potenciál atmosféry} \quad V_{atm}(\mathbf{y}) = -G \int_{\Omega_E - \Omega} \frac{\sigma_{ISA76}(h_x)}{|\mathbf{x} - \mathbf{y}|} \, d_x \Omega$$



# Vliv vzdálených zón $T_{DZ}$ odvozen z GNSS a nivelace

- 30 permanentních stanic GNSS sítě CZEPOS
- $U$  pro ETRS polohu ARP referenční stanice vypočítáme z EGM 2008
- připojením na ČSNS získáme geopotenciální kóty  $C = W_0 - W$

Získáme tak hodnoty  $T^* = W - U = W_0 - C - U$

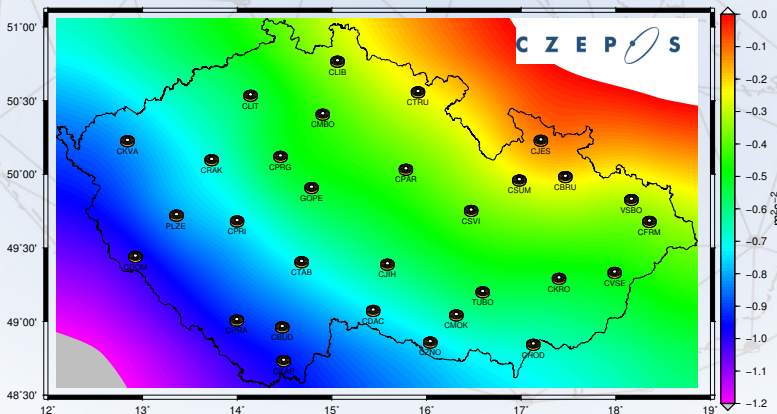


# Vliv vzdálených zón $T_{DZ}$ odvozen z GNSS a nivelace

- 30 permanentních stanic GNSS sítě CZEPOS
- $U$  pro ETRS polohu ARP referenční stanice vypočítáme z EGM 2008
- připojením na ČSNS získáme geopotenciální kóty  $C = W_0 - W$

Získáme tak hodnoty  $T^* = W - U = W_0 - C - U$

Které porovnáme s gravimetrickým řešením  $T = T_0 + T_1 + T_2 + V_{atm}$



# Výsledky porovnání na stanicích CZEPOS, [ $\text{m}^2\text{s}^{-2}$ ]

stanice	$C = W_0 - W$	$U_{EGM08}$	gravim. řešení			diference			residua po $T_{DZ}$		
			$T_0$	$T_0 + T_1$	$\dots T$	$T_0$	$T_0 + T_1$	$\dots T$	$T_0$	$T_0 + T_1$	$\dots T$
CPAR	2164.386	62634691.790	-2.559	-1.771	<b>-1.817</b>	0.384	-0.404	<b>-0.358</b>	-0.115	-0.010	<b>-0.032</b>
CSVI	4313.436	62632543.044	-3.036	-2.136	<b>-2.213</b>	0.556	-0.344	<b>-0.266</b>	0.048	0.073	<b>0.086</b>
CJIH	5074.660	62631781.600	-2.352	-1.598	<b>-1.687</b>	0.092	-0.663	<b>-0.573</b>	-0.036	-0.008	<b>0.004</b>
CDAC	4618.745	62632237.476	-2.025	-1.323	<b>-1.415</b>	-0.195	-0.897	<b>-0.806</b>	-0.123	-0.101	<b>-0.091</b>
CTAB	4276.834	62632579.398	-2.219	-1.472	<b>-1.561</b>	-0.013	-0.760	<b>-0.671</b>	0.015	0.009	<b>0.012</b>
CPRI	5125.585	62631731.117	-2.642	-1.844	<b>-1.930</b>	-0.060	-0.858	<b>-0.772</b>	-0.018	-0.072	<b>-0.068</b>
CKVA	3713.631	62633142.921	-2.360	-1.571	<b>-1.653</b>	-0.192	-0.981	<b>-0.899</b>	0.037	0.023	<b>0.030</b>
CDOM	4555.202	62632301.349	-2.261	-1.456	<b>-1.534</b>	-0.290	-1.096	<b>-1.017</b>	<b>-0.170</b>	-0.073	<b>-0.073</b>
CBUD	3802.571	62633054.024	-2.332	-1.593	<b>-1.675</b>	-0.262	-1.001	<b>-0.919</b>	-0.014	-0.008	<b>-0.016</b>
CPRA	5713.477	62631143.212	-2.576	-1.675	<b>-1.759</b>	-0.112	-1.014	<b>-0.929</b>	0.135	0.036	<b>0.032</b>
CKAP	5342.074	62631514.570	-2.338	-1.594	<b>-1.687</b>	-0.306	-1.050	<b>-0.957</b>	0.056	0.068	<b>0.070</b>
CRAK	3105.175	62633375.264	-2.405	-1.619	<b>-1.692</b>	-0.034	-0.820	<b>-0.747</b>	0.000	-0.035	<b>-0.035</b>
CMBO	2361.530	62634494.688	-2.475	-1.691	<b>-1.742</b>	0.257	-0.527	<b>-0.476</b>	-0.118	-0.043	<b>-0.051</b>
CLIT	1863.830	62634992.441	-2.383	-1.547	<b>-1.583</b>	0.112	-0.724	<b>-0.688</b>	-0.004	-0.020	<b>-0.040</b>
CLIB	3707.417	62633149.272	-3.192	-2.283	<b>-2.345</b>	0.502	-0.406	<b>-0.345</b>	-0.029	-0.015	<b>0.003</b>
CTRU	4061.398	62632794.946	-3.103	-2.150	<b>-2.212</b>	0.759	-0.193	<b>-0.132</b>	-0.019	-0.026	<b>-0.020</b>
CFRM	3017.447	62633838.880	-2.912	-1.946	<b>-1.968</b>	0.584	-0.382	<b>-0.360</b>	-0.035	-0.010	<b>-0.008</b>
CVSE	3390.592	62633466.288	-3.584	-2.414	<b>-2.440</b>	0.704	-0.466	<b>-0.439</b>	<b>0.259</b>	0.059	<b>0.076</b>
CSUM	3111.046	62633745.774	-3.627	-2.522	<b>-2.574</b>	0.807	-0.298	<b>-0.246</b>	0.093	-0.033	<b>-0.039</b>
CBRU	5340.706	62631515.742	-3.181	-2.200	<b>-2.263</b>	0.733	-0.248	<b>-0.185</b>	-0.050	-0.038	<b>-0.030</b>
CKRO	1938.523	62634918.061	-2.866	-1.969	<b>-1.987</b>	0.282	-0.615	<b>-0.597</b>	-0.098	-0.069	<b>-0.082</b>
CHOD	1628.094	62635228.263	-2.465	-1.712	<b>-1.728</b>	0.109	-0.645	<b>-0.629</b>	0.026	0.039	<b>0.030</b>
CZNO	3038.048	62633818.304	-2.139	-1.451	<b>-1.525</b>	-0.213	-0.902	<b>-0.828</b>	-0.116	-0.103	<b>-0.097</b>
CPRG	2777.317	62634078.582	-2.350	-1.578	<b>-1.644</b>	0.451	-0.321	<b>-0.256</b>	<b>0.292</b>	<b>0.305</b>	<b>0.300</b>
VSBO	2508.090	62634348.204	-2.810	-1.971	<b>-2.000</b>	0.516	-0.323	<b>-0.294</b>	<b>-0.193</b>	-0.043	<b>-0.050</b>
PLZE	3418.073	62633438.376	-2.402	-1.640	<b>-1.716</b>	-0.047	-0.809	<b>-0.733</b>	0.064	0.076	<b>0.071</b>
GOPE	5258.983	62631597.112	-2.257	-1.477	<b>-1.559</b>	0.162	-0.618	<b>-0.536</b>	-0.023	-0.017	<b>-0.010</b>
TUBO	2450.671	62634405.835	-2.729	-1.892	<b>-1.946</b>	0.223	-0.615	<b>-0.561</b>	0.014	0.008	<b>0.007</b>
CJES	4331.776	62632524.623	-3.578	-2.424	<b>-2.476</b>	1.180	0.025	<b>0.078</b>	<b>0.280</b>	0.103	<b>0.093</b>
CMOK	2477.406	62634378.785	-2.324	-1.569	<b>-1.629</b>	0.133	-0.622	<b>-0.562</b>	0.068	0.081	<b>0.078</b>

výb. směrod. odchylka:

| 0.441 0.324 0.313 | 0.381 0.286 0.275 | 0.119 0.078 0.078

ZEMĚMĚŘICKÝ ÚŘAD

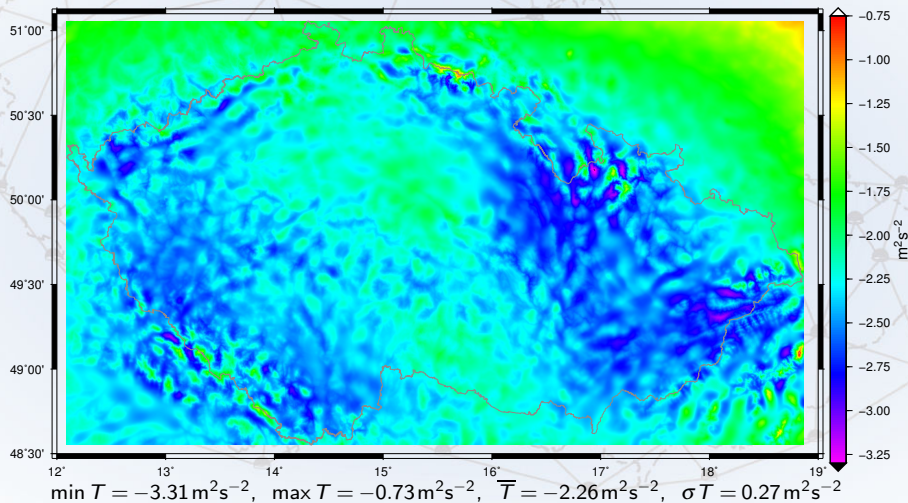
2015 Lederer, Nesvadba, Řezníček, Souček



# Kombinované řešení $T$

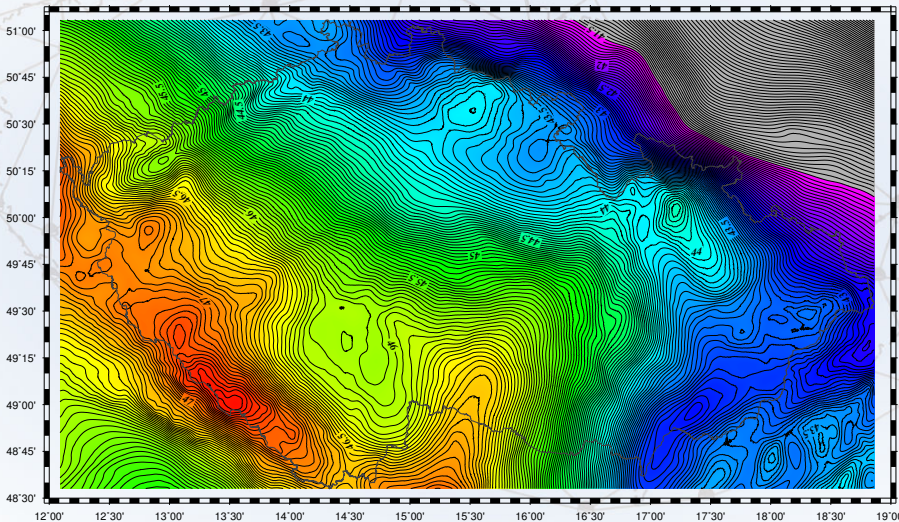
Kombinované řešení:  $T = T_0 + T_1 + T_2 + V_{atm} + T_{DZ}$ ,

kde  $T_{DZ}$  vyjadřuje efekt vzdálených zón.



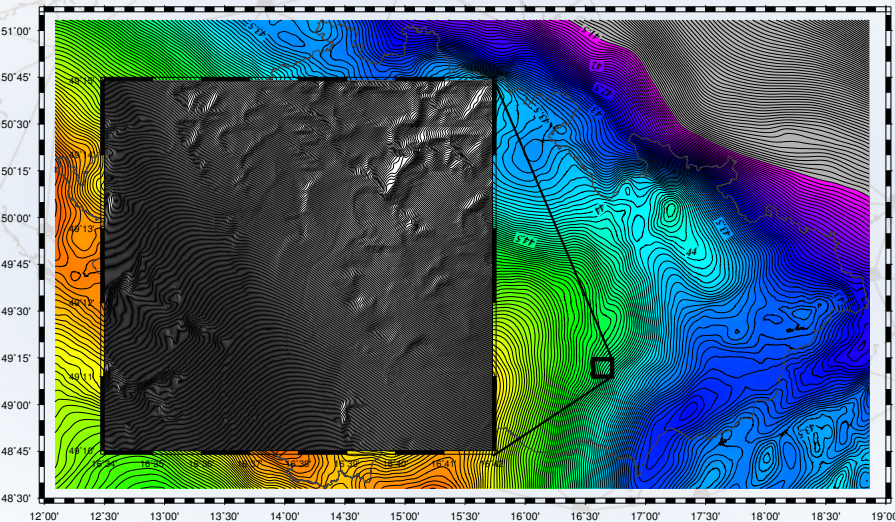
# Podrobný gravimetrický kvazigeoid QGZÚ-2013

Výsledná transformační funkce  $\zeta_{Bpv}$  reprezentující vztah mezi systémy ETRS (ETRF 2000, vztaženo k elipsoidu GRS 80) a Bpv:  $h = H + \zeta_{Bpv}$



# Podrobný gravimetrický kvazigeoid QGZÚ-2013

Výsledná transformační funkce  $\zeta_{Bpv}$  reprezentující vztah mezi systémy ETRS (ETRF 2000, vztaženo k elipsoidu GRS 80) a Bpv:  $h = H + \zeta_{Bpv}$



# Publikace QGZÚ-2013 prostřednictvím Geoportálu ČÚZK

Hodnoty  $\zeta_{Bpv}$  na celém území ČR (včetně nutného přesahu hranic) dostupné v pravidelné síti  $3'' \times 3''$  zeměpisných souřadnic ETRS.

V roce 2014 zveřejněny v rámci DBP na Geoportálu ČÚZK zdarma.

The screenshot shows the Geoportál ČÚZK homepage with a navigation bar at the top. The main content area displays the title 'Podrobný kvazigeoid QGZÚ-2013' and a table with product information. To the right, there is a sidebar with links related to the geoid product.

**Geoportál ČÚZK**  
přístup k mapovým produktům a službám resortu

Vítejte Aplikace Datové sady Sítové služby INSPIRE

Úvod Katastr nemovitosti RÚIAN Mapy Ortofoto Výškopis ZABAGED® Správní a katastrální hranice Geonames Bodová pole Archiválie

Nyní jste zde: Datové sady / Bodová pole / Podrobný kvazigeoid QGZÚ-2013

## Podrobný kvazigeoid QGZÚ-2013

Informace o produktu	
Název	Podrobný kvazigeoid QGZÚ-2013
Obchodní kód	61171
Výdejní jednotka	buňka INSPIRE souřadnicové sítě ETRS89-GRS80 úrovně 1D
Cena za jednotku	bez poplatků
Výdejní formáty	BLZ
Souřadnicové systémy	ETRS89-GRS80
Popis produktu	Podrobný gravimetrický kvazigeoid QGZÚ-2013 představuje transformační plochu umožňující převod nadmořských výšek H vyjádřených ve Výškovém systému baltském – po vyrovnání (Bpv) a ellipsoidických výšek h určených v Evropském

→ Polohové bodové pole  
→ Výškové bodové pole  
→ Tichové bodové pole  
→ Body sítě CZEPOS  
→ Podrobný kvazigeoid  
↳ QGZÚ-2013  
i Informace o produktu  
■ detailní metadata  
w koupit  
INSPIRE souřadnicová  
→ Grid\_ETRS89-LAEA  
INSPIRE souřadnicová



# Publikace QGZÚ-2013 prostřednictvím Geoportálu ČÚZK

**ČÚZK | Geoportal ČÚZK**  
Access to map products and services

Welcome Applications Data sets Network services INSPIRE

Intro Data Discovery E-shop Geoviewer MDE Consultation of Cadastre ISKN RUIJAN Transformation Archival Maps Mobile app Metadata

Česky English Login Cart (1) DCZK

You are here: Applications / E-shop

Enter the keyword for search in products

Search in products

Vybraný produkt: Detailed gravimetric quasigeoid QGZÚ-2013

Product choice

Extent setup

-Selection with spatial unit

View on map Add to my cart Product information

Your cart

Title	Items	Price
<input type="checkbox"/> z1_1D_N49°E13°	1	0
<input type="checkbox"/> z1_1D_N49°E14°	1	0
<input type="checkbox"/> z1_1D_N49°E15°	1	0
<input type="checkbox"/> z1_1D_N49°E16°	1	0
<input type="checkbox"/> z1_1D_N49°E17°	1	0
<input type="checkbox"/> z1_1D_N50°E12°	1	0
<input type="checkbox"/> z1_1D_N50°E13°	1	0
<input type="checkbox"/> z1_1D_N50°E14°	1	0
<input type="checkbox"/> z1_1D_N50°E15°	1	0
<input type="checkbox"/> z1_1D_N50°E16°	1	0
<input type="checkbox"/> z1_1D_N50°E17°	1	0
<input type="checkbox"/> z1_1D_N50°E18°	1	0
<input type="checkbox"/> z2_1D_N51°E12°	1	0
<input type="checkbox"/> z2_1D_N51°E13°	1	0
<input type="checkbox"/> z2_1D_N51°E14°	1	0
<input type="checkbox"/> z2_1D_N51°E15°	1	0
<input type="checkbox"/> z2_1D_N51°E16°	1	0
<input type="checkbox"/> z2_1D_N51°E17°	1	0
<input type="checkbox"/> z2_1D_N51°E18°	1	0

1:3657600 100 km S-JTSK / Krovák East North: X=335190 Y=1012570 ETRS89: B=50°12'19"E L=19°58'33"



# Rozvoj DBP a poskytovaných dat

<http://geoportal.cuzk.cz>

<http://nahlizenidokn.cuzk.cz>

<http://bodovapole.cuzk.cz>

Jan.Reznicek@cuzk.cz

Děkuji za pozornost

